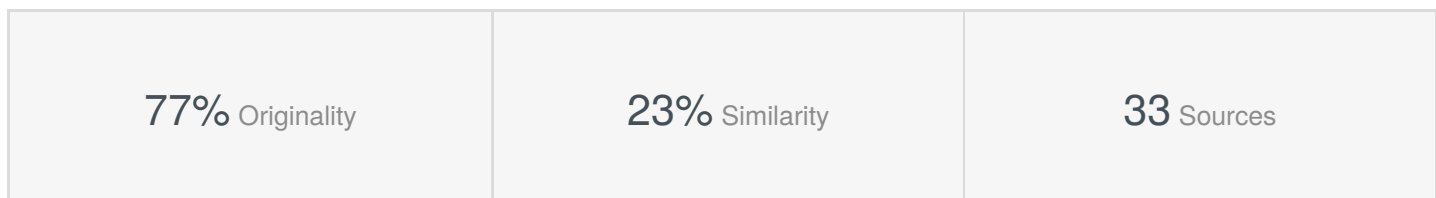


Doc vs Internet + Library



Web sources: 32 sources found

Library sources: 1 source found

Similarity



Similarity from a chosen source



Possible character replacement



Citation



References

vokhmin_no_pics.docx

0.94%

 Similarity Similarity from a chosen source Possible character replacement Citation References

ВСТУП

В системах зв'язку різного застосування, особливо рухомих систем зв'язку, важливе місце займає приймач, параметри якого визначають найважливіші параметри систем зв'язку – каналну швидкість передачі інформації, енергетичний потенціал системи (разом з антенними пристроями), завадостійкість, скритність роботи комплексу.

Розвиток конструкцій ЕС, як відомо, пройшло вже чотири етапи. Зміна кожного покоління обумовлювалась зміною елементної бази, в основному активних компонентів РЕП і, як наслідок, зміною методу і правил компонування і монтажу. Безперервно змінювалась лампова техніка: лампи скляної і металової серії, пальчикові лампи, лампи серії «дріб» і «жолудь». З ускладненням ЕС з'явилися вимоги крупносерійного виробництва, дроблення конструкцій на основі уніфікованих функціональних вузлів (УФВ). Такими першими УФВ з'явилися «Елемент-1» на друкованому монтажі і лампах типу «дріб».

Метод компонування від блочного перейшов до функціонально-узлового.

Третє покоління ЕС характеризується застосуванням нової елементної бази – ІС широкого застосування і мініатюрними ЕРП на друкованих платах з високою роздільною здатністю (до 0,3 мм).

Мікросхеми за своєю функціональною складністю представляють функціональні вузли, які випускалися в ті роки в металевих, пластмасових і металокерамічних корпусах прямокутної і круглої форми з штировими і плоскими висновками. Число виводів не перевищувало 15.

Мікросхеми в кількості 20...30 штук компонувались на друкованих платах з середніми розмірами 140×170мм, вивідна комутація яких здійснювалася стандартними роз'ємами. Така конструкція, найбільш характерна для цифрових пристрій, отримала назву спочатку субблока, а пізніше – функціональної осередку.

Клітинки ЕОМ, виконані за принципом базових несучих конструкцій, називають типовими елементами заміни.

Таким чином, досягнення в області мікроелектроніки та її промислового впровадження дозволили перейти до створення нового покоління конструкцій ЕС – до інтегральних електронних пристройів.

Сьогодні досягнення радіоелектроніки широко використовують медицина, економіка, лінгвістика, хімія, біологія, психологія, археологія, астрономія та інші багатогалузеві й досить спеціалізовані напрями наукової і практичної діяльності людей. Кожен із цих напрямів, у свою чергу, має численні розгалуження. В кожній галузі сучасної техніки радіоелектроніка дає потужний поштовх для дійсно нового рівня розвитку. Це зумовлено насамперед високою швидкодією, точністю та чутливістю її елементної бази — електронних приладів. З їх допомогою досить просто і з дуже високим коефіцієнтом корисної дії (ККД) окремі види енергії перетворюють на електричну і навпаки. різноманітні електричні давачі і вимірювальні пристрої дають змогу з високою точністю вимірювати, реєструвати, регулювати різні неелектричні величини.

Інтегральні електронні пристрої відрізняються малими масою і габаритами, високою надійністю, зниженим споживанням енергії, меншою вартістю, груповою автоматизованою технологією виготовлення компонентів і пристроїв, застосуванням САПР при конструюванні та підготовки виробництва. Інтегральні ЕП проектуються на нових принципах схемотехніки – мікросхемотехніки, в основі якої закладена мікроелектроніка. Таким чином, дана тема дипломної роботи є дійсно актуальною.

Метою написання дипломної роботи є дослідження методів проектування електронних цифрових систем зв'язку.

РОЗДІЛ 1

ЕЛЕКТРИЧНІ СИГНАЛИ ЯК НОСІЙ ІНФОРМАЦІЇ

1.1 Характеристика сигналу

В даний час на практиці широко використовуються різного роду сигнали. Розглянемо безпосередньо поняття «сигнал».

Отже, сигнал – це фізична величина, яка буде показувати передане повідомлення. В якості таких величин можуть виступати струм, напруга, електромагнітне поле, світловий потік і ін. Іншими словами, сигнал виступає як матеріальний носій інформації.

При теоретичних дослідженнях використовують математичні моделі сигналів. У найзагальнішому вигляді математична модель сигналу являє собою функцію аргументу часу .

Слід зазначити, що математична модель не враховує конкретну фізичну природу сигналу. Однією і тієї ж математичною моделлю може бути описано зміну в часі і напруги, і інтенсивності світлового потоку, і напруженості електромагнітного поля.

Всі сигнали як фізичні процеси є матеріальними і описуються речовими функціями. Разом з тим, при теоретичних дослідженнях часто зручно описувати сигнали комплексними функціями.

Варто зазначити, що вид функції визначає форму сигналу.

Як функція часу сигнал може бути визначений як на кінцевому, так і на нескінченому інтервалі часу. Реальні сигнали завжди кінцеві. якщо сигнал визначений на інтервалі . В такому випадку величина називається тривалістю сигналу. Такі сигнали отримали назву фінітних сигналів. При теоретичному аналізі сигнал може бути визначений як на нескінченому , так і на напівнескінченому інтервалі часу.

Оскільки сигнал є матеріальним носієм інформації, він має енергетичні характеристики. До основних енергетичних характеристик відноситься енергія сигналу і середня потужність.

Відзначимо, що якщо є зміна напруги у часі, енергія сигналу, що виділяється при навантаженні в 1 Ом має розмірність, а середня потужність в.

Таким чином, в загальному випадку сигнал характеризується формою, тривалістю, енергією і середньою потужністю.

Зміна сигналу в часі може відбуватися невипадковим (детермінованим), або випадковим чином. Відповідно до цього сигнали підрозділяються на детерміновані і випадкові.

До детермінованих сигналів відносяться сигнали, значення яких в будь-який момент часу повністю відомі. Детермінованим сигналом, наприклад, є гармонійне коливання з постійними на інтервалі амплітудою, частотою і початковою фазою. Детерміновані сигнали не переносять інформації і є допоміжними при різних перетвореннях сигналів. З іншого боку, детерміновані сигнали є зручною моделлю при аналізі радіотехнічних систем.

Випадкові сигнали - це сигнали, значення яких в будь-який момент часу точно передбачити неможливо. Математичними моделями випадкових сигналів є випадкові процеси. Власне кажучи, інформація міститься в випадкових змінах фізичних величин. З іншого боку, моделями випадкових процесів описуються і перешкоди в лінії зв'язку. Все це визначає важливість вивчення випадкових сигналів.

Сигнал , як уже підкреслювалося вище, являє собою величину, яка змінюється в часі і з цієї точки зору характеризується великою кількістю значень і множиною моментів часу , які вона може приймати. Як множина , так і множина може бути безперервною (континуальною) або дискретною. Покладемо ці дві ознаки в основу класифікації сигналів.

Якщо множина і є безперервними множинами, тобто в будь-який момент часу сигнал може приймати будь-яке значення з множини , то такі сигнали називають аналоговими (безперервними) сигналами. Аналогові сигнали мають місце на виході мікрофона, датчика температури або тиску і т.д.

Якщо множина безперервна, а множина дискретна, тобто сигнал може приймати будь-яке значення з множини але в строго фіксовані моменти часу, або, то такі сигнали називаються дискретними.

Тут варто відмітити, що приймає значення від до. Прикладом дискретного сигналу може служити відбитий від цілі сигнал на вході приймача радіолокаційної станції.

Дійсно, моменти часу визначаються часом обороту антени, а значення сигнал може приймати будь-які, тому що ціль може мати довільне положення в просторі [1].

Якщо множина значень дискретна, а множина моментів часу безперервна, тобто сигнал приймає строго фіксовані значення в будь-який момент часу , або , то такі сигнали називаються квантовими.

До квантовиз сигналів можна віднести сигнал на виході контролера-автомата метрополітену. Число пасажирів, які проходять через контролер - автомат завжди приймає цілі значення, а значення моментів часу довільні [3].

І, нарешті, якщо множина і дискретна, то такі сигнали називаються цифровими. Свою назву такі сигнали отримали з огляду на те, що значення сигналу і моменти часу змін значень можуть бути представлені числами натурального ряду. Прикладами цифрових сигналів можуть служити сигнали, якими обмінюються пристрой ЕОМ, сигнали телексного зв'язку та інші.

Продовжимо класифікацію сигналів. Якщо на інтервалі часу сигнал описується однією елементарної функцією часу, то такий сигнал називається простим (елементарним) сигналом.

Якщо ж на цьому інтервалі часу сигнал описується сукупністю простих сигналів, наприклад, , демає тривалість, то такі сигнали називають складовими (або складними).

І, нарешті, в зв'язку з широким використанням цифрових сигналів в сучасних системах, зупинимося на понятті ансамблю сигналів. З огляду на те, що в цифрових системах число значень первинних сигналів обмежена, для їх передачі можна використовувати кінцеве число сигналів .

Сукупність таких сигналів утворює ансамбль сигналів. Найважливішою характеристикою ансамблю сигналів є його обсяг , тобто число сигналів, що входять в ансамбль. Від цього показника залежить інформативність кожного сигналу окремо і ансамблю в цілому, здатність протистояти перешкодам, час дovedення повідомлень до одержувача тобто все те, що визначає ефективність радіотехнічної інформаційної системи.

І на закінчення відзначимо, що поняття ансамблю сигналів може бути поширена і на сукупність ансамблю сигналів.

При побудові радіотехнічних систем виникають завдання аналізу і синтезу радіотехнічних сигналів. Сутність аналізу полягає в тому, що досліджуваний об'єкт розбивається на складові частини, після чого проводиться їх дослідження. Стосовно радіотехнічних сигналів, при аналізі досліджуваний сигнал описується сукупністю інших простіших сигналів з добре вивченими властивостями. Таке уявлення дозволяє, з одного боку, складне завдання перетворення досліджуваного сигналу радіотехнічними пристроями звести до завдань перетворення відомих сигналів, а з іншого боку, - досить ефективно вирішувати завдання синтезу сигналів із заданими властивостями.

Як уже підкреслювалося вище, в загальному випадку сигнал описується функцією часу, що дозволяє розглядати сигнал як процес, що розвивається в часі. Тому уявлення сигналу складної форми сукупністю простих сигналів, також описуються функціями часу, отримало назву динамічного або тимчасового уявлення.

У теорії радіотехнічних сигналів для динамічного подання використовуються наступні елементарні функції: функція знака (Сігнум-функція), одинична функція (Функція включення, функція Хевісайда), дельта-функція (Функція Дірака) і прямоугільний імпульс з одиничною висотою .

Динамічний діапазон — це відношення максимальної миттєвої потужності сигналу до мінімальної, що забезпечує задану якість передачі інформації. Найчастіше динамічний діапазон виражають в логарифмічних одиницях — децибелах (dB):

Наприклад, динамічний діапазон для мовлення становить 30...35 dB, а для музики у виконанні симфонічного оркестру — 70...80 dB.

Проміжок часу, протягом якого передається сигнал, називається тривалістю сигналу

Добуток цих основних параметрів сигналу визначає його обсяг.

Обсяг сигналу можна визначити також через швидкість передачі інформації. Кількісно інформацію виражають у спеціальних одиницях — бітах. Один біт — це кількість інформації, яку містить один розряд двійкового цифрового коду. Швидкість передачі інформації виражають в бітах за секунду і позначають Літерою . Отже, обсяг сигналу

Сигнали передаються на відстань за допомогою сукупності технічних засобів, яка називається каналом зв'язку. Це може бути двопровідна, кабельна, оптична, радіорелейна, супутникова або якесь інша лінія зв'язку З і своєю приймально-передавальною апаратурою. Кожен канал зв'язку має свої технічні параметри: смугу пропускання, динамічний діапазон та швидкодію. Щоб передати сигнал по каналу зв'язку без утрат інформації, його параметри треба узгодити з параметрами цього каналу. Такі дії над сигналом виконуються в перетворювачах, які докладно розглядаються в спеціальній теорії зв'язку.

1.2 Характеристика сигналів повідомлення

Сигнали повідомлення такі як: електричні сигнали мови, сигнали музики або сигнали зображення є випадковими неперіодичними функціями часу. Для спрощеного аналізу їх вважають складними періодичними детермінованими сигналами, що задовільняють вимоги теореми Фур'є.

Будь-який періодичний сигнал з частотою і кутовою частотою при розвиненні в ряд Фур'є має вигляд

де — середнє значення сигналу за період, або постійна складова;

— модуль амплітуди кожної гармошки;

— модуль її фази.

Ці величини і називають *спектром функції*, який згідно з (1.4) є лінійчастим і складається з окремих гармонік (спектральних ліній), що відповідають частотам Для повної характеристики сигналу треба знати також фазу кожної гармоніки.

Спектри функції зображують у вигляді двох спектральних діаграм, одна з яких називається амплітудно-частотним спектром, а інша — фазочастотним.

Математичні перетворення спрощуються, якщо перейти від тригонометричної до комплексної форми запису ряду Фур'є:

Згідно з комплексною формою запису будують векторні діаграми.

На них модуль та початкову фазу сигналу відкладають в полярних координатах у якось фіксовану мить і вказують напрямок та кутову швидкість обертання вектора навколо полюса. Обидва способи опису сигналів є адекватними і вибір одного з них визначається зручністю використання його в заданих умовах або дидактичними вимогами до уточнення навчання.

У практиці радіоелектронних вимірювань часто використовують *періодичну послідовність прямокутних імпульсів* (рис. 1.1, а). Спектр такого сигналу є амплітудою , періодом і тривалістю імпульсів згідно з (1.4) має вигляд (рис. 1.1, б)

Як бачимо, здобутий після розвинення в ряд Фур'є функції спектр — дискретний з частотами, кратними частоті повторення імпульсів.

Амплітуди складових спектра, що відповідають частотам $\omega_1, \omega_2, \dots$, дорівнюють нулю, а при переході через ці точки фази складових спектра змінюються на 180° із збільшенням номерів гармонік амплітуди їх поступово спадають.

Розглянемо окремий випадок, коли $\omega_1 = \omega_2 = \dots$, а вісь часу проходить симетрично відносно графіка сигналу (рис. 1.1, в). Такий сигнал називається меандром. Для нього (рис. 1.1, г)

Рисунок 1.1 - Приклади сигналів у вигляді прямокутних імпульсів (а) і меандру (в) та їхні амплітудно-частотні спектри (б, г)

Зважаючи на те, що $\omega_1 = \omega_2 = \dots$, маємо

Підставивши значення коефіцієнта a_0 в (1.4), будемо мати

Для неперіодичного дискретного сигналу можна ввести припущення, що він періодичний, але з $\omega_1 = \omega_2 = \dots$.

У такому випадку коефіцієнти a_n зменшуються, а кількість гармонічних складових зростає до нескінченності і дискретний спектр перетворюється в суцільний. Обвідна такого суцільного спектра за формулою повністю збігається з обвідною лінійчастого спектра періодичного сигналу, але масштаби цих обвідних різні [3].

Отже, для дослідження властивостей радіоелектричних кіл краще користуватись лабораторним устаткуванням, наприклад генераторами електричних кіл. У них можна змінювати плавно і східчасто амплітуди і частоти (період, тривалість) сигналів.

Отже, для дослідження властивостей радіоелектричних кіл краще користуватись лабораторним устаткуванням, наприклад генераторами електричних кіл

У залежності від діапазонів частот промисловість випускає лабораторні генератори низьких, високих і надвисоких частот, а в залежності від форми сигналів — генератори гармонічних, прямокутних сигналів і сигналів спеціальної форми. У сучасних генераторах установлення параметрів сигналів здійснюється в цифровій формі.

1.3 Багатоканальна передача інформації

Аналогові і цифрові сигнали повідомлення використовують лінії зв'язку для одночасної передачі лише одного повідомлення. Такий зв'язок називається одноканальним. Якщо потрібно передати декілька повідомлень потрібно використати багатоканальний режим, для цього інформацію перед передачею ущільнюють. Існує два способи ущільнення інформації: ущільнення за часом і частотне ущільнення.

У простому гармонічному коливанні

Ми можемо змінювати три незалежні параметри це - амплітуда A , частота ω і фаза ϕ . В такому разі отримуємо амплітудну (AM), частотну (ЧМ) і фазову (ФМ) модуляції. Якщо необхідно використовувати імпульсні і кодові сигнали, в такому разі необхідно використати інші, складніші види модуляції.

Амплітудна модуляція була запропонована з самого початку процесу розвитку радіолектроніки як найпростіший вихід у вирішенні проблеми багатоканальності.

Якраз амплітуда модуляція і розглядається в шкільній програмі з фізики при вивченні принципів радіозв'язку.

Визначимо які властивості має АМ на спрощеній моделі: це носійне високочастотне гармонічне коливання з частотою (рис.1.2, а) модулюється детермінованим гармонічним тональним коливанням з частотою (рис.1.2, б).

Рисунок 1.2 - Спрощена графічна модель амплітудно-модульованого сигналу Задля спрощення математичних обчислень розглянемо парну косинусоїдну функцію без початкової фази [4]

де — коефіцієнт пропорційності; — коефіцієнт АМ, що дорівнює відношенню максимальної зміни амплітуди модульованого сигналу до його середнього значення.

Якщо спростити цей вираз використовуючи тригонометричну тотожність отримаємо

легко спрощується до виразу

Для практичного визначення коефіцієнта модуляції з осцилограмами (рис. 1.2, в) зручно користуватися таким виразом:

Виходячи з (1.11), напруга сигналу який модулюється є сума трьох високочастотних гармонічних коливань. Одне з них — носійне з частотою ; інші два розташовуються симетрично відносно носійного коливання на осі частот, відповідно вище і нижче нього на частоту .

Такі коливання мають назву бічних складових модульованого сигналу. Амплітуда бічних коливань не може перевищувати половини амплітуди носійного коливання, тому що згідно з (1.12) коефіцієнт модуляції не може бути більшим за 1. Якщо модулювальний сигнал має кілька складових, то відповідно бічні частоти перетворюються на бічні смуги з симетричними лінійчастими спектрами. В решті решт, якщо модулювати сигнал реальним випадковим сигналом смуги бічних частот будуть суцільними (рис.1.3).

З більшої научної точки зору амплітудно-модульований сигнал можемо розглядати як векторну діаграму

На цій в полярній системі координат при довільній початковій фазі відкладають вектор , який відповідає амплітуді носійного коливання. Стрілка показує, що цей вектор обертається з кутовою швидкістю навколо полюса [5].

Рисунок 1.3 - Векторне подання амплітудно-модульованого сигналу.

Саме через це векторна діаграма показує принципову можливість виникнення явища спотворення сигналу, як паразитна ЧМ, що виникає в каналах зв'язку. Слідуючи з діаграмами чиста АМ сигналу буде тільки при точній симетрії векторів, які відображають амплітуди бічних частот, утворюючи ромб, але у реальних електрических колах не виключено що ця симетрія може бути порушенна, через різноманітне підсилення або навпаки згасання окремих частинок спектра. Тоді кінець підсумкового вектора не буде переміщуватись по прямій між точками й , а спостерігатиметься деяке його коливання відносно вектора носійної частоти з деяким випередженням і відставанням від неї. Це рівнозначно тому, що підсумковий вектор коливатиметься з деякою частотою відносно положення

вектора носійної частоти. Дане явище називають паразитною ЧМ і воно не допустиме при процесі передачі сигналу тому, що висока стабільність приймача є основною складовою надійності зв'язку.

Згідно закону сигналу повідомлення кутова модуляція полягає в тому, що змінюється миттєве значення фазового кута, тобто повна фаза коливань :

Таким чином кутова модуляція називається частотною (ЧМ) або фазовою (ФМ) відповідно, залежно від того яка частина фази коливань змінюється згідно за законом сигналу повідомлення

Припустимо, що миттєва частота носійного коливання змінюється за законом [6] де — девіація частоти, яка відповідає максимальному відхиленню частоти від носійної частоти .

Тоді повна фаза частотно-модульованих коливань

тобто частотно-модульоване коливання описується рівнянням

де — індекс кутової модуляції, що характеризує максимальне відхилення фази коливань.

Після тригонометричних перетворень (1.16) дістанемо

Видно, що частотно-модульований сигнал складається з двох амплітудно-модульованих коливань. Тому для знайти його спектр потрібно визначити спектри функцій та . Однак ці функції не є лінійними, тому є неможливим просте перенесення спектра на носійну частоту. В такому випадку краще розглянути два окремих випадки: з малим індексом кутової модуляції сигналу і великим його значенням .

При маємо

З урахуванням цих наближених значень функцій після тригонометричних перетворень (1.17) дістанемо

Рисунок 1.4 - Векторне подання частотно-модульованого сигналу при малому індексі модуляції

Як видно цей вираз абсолютно точно повторюється з виразом (1.11). Отже, можемо стверджувати, що при малих спектр коливання з ЧМ відрізняється від спектра коливання з АМ лише фазою для нижньої бічної частоти (рис.1.4, а). Якщо взяти до розгляду вектору діаграму (рис. 1.4, б), то видно, що зміна фази бічної частоти на протилежну приводить до того, що вектор носійного коливання з часом змінює свою фазу коливань [7].

Для того, щоб аналізувати спектральний склад сигналу при необхідно скористатися теорією бесселевих функцій і розвинути вирази (1.18) в ряди за цими функціями та здобути спектр, який складається з нескінченною кількості бічних частот які симетричні відносно носійної. Амплітуди складових цього спектра пропорційні коефіцієнтам бесселевих функцій, мається на увазі, що вони залежать від і порядку функцій . Проаналізувавши це можна зрозуміти, що при великих значення коефіцієнтів бесселевих функцій за межами різко прямують до нуля, тому можна обмежитися шириною спектра, близькою до повної смуги девіації, тобто

Таким чином завдяки розширенню спектрального складу сигналу, якість сигналу який передається значно посилюється за допомогою кутової модуляції; отже її

можна здійснити лише з надвисокочастотними носійними сигналами. Щодо векторної діаграми (рис. 1.4, б), бачимо як утворюється паразитна АМ сигналу, але на якість передачі інформації вона ніяк не впливає, оскільки її легко усунути амплітудним обмеженням сигналу.

РОЗДІЛ 2

ПРИНЦИПИ ПРОЕКТУВАННЯ ПРИЙМАЧІВ ЦИФРОВОЇ СИСТЕМИ ЗВ'ЯЗКУ

2.1 Структурна схема організації каналу зв'язку

Структурна схема об'єднання каналу зв'язку та джерела повідомлення і приймача показані на рис.2.1.

У цій схемі присутня апаратура приєднання (АП) і апаратура обробки (АО). Апаратура приєднання служить для передачі ВЧ сигналів від апаратури на передавальному кінці для передачі сигналів від проводів до апаратури ущільнення на приймальному кінці [8].

Апаратура обробки служить для віddлення по високій частоті, до яких підключається апаратура приєднання, від решти мережі високої напруги. Апаратура обробки і приєднання в деяких випадках утворює єдину електричну схему.

Ділянка каналу зв'язку від виходу приймача апаратури ущільнення на одному кінці каналу до входу приймача цієї апаратури на іншому кінці називається високочастотним трактом.

Перетворення низькочастотних сигналів в високочастотні на передавальному кінці і зворотне перетворення на приймальному кінці виконується в апаратурі ущільнення.

Рисунок 2.1 - Структурна схема організації каналу зв'язку

2.2 Можливість використання каналів ВЧ зв'язку

Можливість використання каналів ВЧ зв'язку для передачі того чи іншого виду інформації визначається його характеристиками.

Ці характеристики можна розділити на чотири основні категорії: які пов'язані з спотвореннями сигналів які були передані, з дальністю дії каналу зв'язку, з електромагнітною сумісністю з іншими системами зв'язку і з надійністю каналу зв'язку.

Характеристики які пов'язані зі спотвореннями переданих сигналів.

Смуга ефективно переданих частот-ширина спектра низьких частот, в межах якого забезпечується передача первинних сигналів.

Частотна характеристика - залежність напруги на виході приймача від частоти сигналу, що передається при постійній напрузі цього сигналу на вході апаратури ущільнення. Частотна характеристика головним чином визначається характеристиками фільтрів апаратури ущільнення і частково - характеристиками апаратури обробки і приєднання, а також лінійного тракту.

Розбіжність частот в каналі - різниця частот сигналів на вході і виході канала зв'язку.

Амплітудна характеристика- залежність напруги на виході каналу від напруги на його вході. Від лінійності амплітудної характеристики залежить ступінь нелінійних спотворень.

Коефіцієнт нелінійних спотворень- це відношення діючого напруження всіх гармонік сигналу на виході каналу зв'язку до діючого значенням сумарного сігналу в тих же точках при подачі на вход каналу напруги первинного сигналу синусоїдальної форми.

Рівень власних шумів апаратури- рівень перешкод на виході приймача, коли на вході приймача каналу не подається напруга первинного сигналу і немає перешкод, обумовлених лінійним трактом. [8]

Характеристики, пов'язані з дальностю дії каналу зв'язку. Мінімально допустиме відношення сигнал / перешкода на вході ВЧ приймача - в смузі частот, яку займає даними каналом в лінійному тракті.

Загасання - максимально припустиме загасання лінійного тракту, при якому на виході каналу зв'язку (на виході приймача) забезпечується необхідне для даного призначення каналу зв'язку відношення сигнал / перешкода. Визначається як [9]: де $P_{\text{пер}}$ - рівень передачі ВЧ сигналу для цього каналу;

$P_{\text{пер}, \text{min}}$ - мінімально допустимий рівень прийому, який визначається рівнем лінійних перешкод приймача і відношенням сигнал/шум на вході приймача, необхідним для передачі даного виду інформації з необхідною якістю.

Чутливість приймача - мінімальне значення рівня сигналу, при якому на виході приймача забезпечується нормальна потужність низькочастотного сигналу.

Електромагнітна сумісність з іншими каналами ВЧ визначається захищеністю від впливу з боку інших каналів зв'язку і рівень впливу даного каналу на інші канали зв'язку.

Електричні перешкоди є в будь-якому каналі зв'язку. Вони є основним чинником, що обмежує дальність передачі інформації через те, що сигнали, що приймаються приймачем, спотворюються перешкодами. Для того щоб спотворення не виходили за межі, допустимі для даного виду інформації, має бути забезпечене певне перевищення напруги сигналу над напругою перешкоди на виході приймача.

Для каналів з УВЧ зв'язком сама лінія є джерелом сильних перешкод. Через це ступінь перешкод на виході приймачів цих каналів обумовлений в основному такими перешкодами, які прибувають на вход приймача з лінійного тракту. Такі перешкоди можемо розділити на дві основні категорії - перешкоди нормального експлуатаційного режиму і перешкоди, що виникають при аваріях і комутаційних операціях енергетичного обладнання.

При нормальному експлуатаційному режимі перешкоди обумовлені в основному явищем коронування проводів, а також розпірок на розщеплених фазах і арматури апаратів високої напруги.

При досить великий напруженості поля у поверхні проводів у разі лінійного проводу відбуваються електричні розряди з дроту в навколошній простір.

Кожен такий розряд називається коронним розрядом, а явище в цілому - коронування проводів або просто короною [10].

Виникнення коронного розряду пояснюється тим, що при великій напруженості поля, наявні в повітрі вільні електрони розганяються під дією сил електричного поля до великої швидкості і при зіткненні з молекулами повітря іонізують їх.

При іонізації вивільняються нові електрони, які теж розганяються полем і іонізують інші молекули, і т.д.

Цей процес призводить до утворення електронної лавини.

З віддаленням від проводу напруженість поля зменшується і лавина загасає. Видима корона пов'язана з великою кількістю таких лавин. Іонізація повітря викликає світіння і тріск, а рух заряду в полі- електричний струм.

При збільшенні напруженості поля кількість точок коронування зростає. Коли напруженість поля досягає певного для лінії даної конструкції значення, окремі імпульси зливаються в загальний розряд, званий загальною короною. Загальна корона на лінії провокує величезні втрати електроенергії. Тим самим при проектуванні відстані між дротами та типами дротів обирають так, щоб максимальна напруженість поля на дротах E_{max} була менша від напруженості поля E_0 , при якій виникає загальна корона (у разі лінії передачі).

Окремі імпульси місцевої корони називаються стримерами, і тому така корона часто називається стримерною. Стримерні імпульси є генераторами ВЧ і радіоперешкод, створюваних лінією електропереадачі [11].

Джерела стримерного розрядів зазвичай знаходяться на відстані декількох метрів один від іншого (до десяти). Кожне джерело створює один - три стримерних імпульси за проміжок промислової частоти, а саме 50 - 150 імпульсів в секунду. Кожний стримерний розряд наводить в проводах імпульси струму, що поширяються в обидва боки від точки коронування.

Вплив атмосферних умов. Рівень перешкод в сильній мірі залежить від атмосфераоного тиску, вологості повітря і його забрудненості, наявності опадів, температури і інших чинників. Більш за все рівень перешкод зростає при інтенсивності дощу до 1 - 2 мм / год.

Подальше зростання інтенсивності дощу не призводить до збільшення рівня перешкод. При ожеледі і паморозі збільшується генерація перешкод, але їх рівень на вході ВЧ приймача зростає незначно, а для трактів по тросах може навіть зменшитися через збільшення загасання модальних каналів. Тому проектуванні каналів ВЧ зв'язку (по ВЛ) можливість збільшення рівня перешкод при ожеледі або паморозі не враховується.

РОЗДІЛ 3

ПРОЕКТУВАННЯ ПРИЙМАЧА ЕЛЕКТРОННОЇ ЦИФРОВОЇ СИСТЕМИ ЗВ'ЯЗКУ

3.1 Розробка структурної схеми

Розробка структурної схеми включає наступні операції:

1. Визначення числа ступенів (каскадів) приймача, потужності кожного з них, а також характеру і режиму роботи (посилення модульованих коливань, анодна або анодно-екранна модуляція, немодульовані коливання і т.п.).

2. Вибір типу і кількості ЕП для кожного ступеня приймача відповідно до наблизених значень їх потужності і номінальної потужності ЕП.

3. Вибір збудника, виходячи із заданого діапазону робочих частот і вимог до стабільноті несучої частоти (задамося діапазоном частот 117-135 МГц).

4. Вибір основних параметрів джерел живлення (напруга, тип випрямляча).

Потужність вихідної ступені приймача визначається величиною потужності в фідері (антени) $P_a = 50 \text{ Вт}$ і коефіцієнтом корисної дії вихідної коливальної системи [пвкс](#).

З урахуванням ККД вихідної коливальної системи [пвкс](#) = (0,75 ... 0,9) і пристрою складання потужностей [псл](#) = (0,8 ... 0,9) визначимо номінальну потужність вихідної ступені:

Потужність кожного каскаду, починаючи з передостаннього, визначається орієнтовно шляхом послідовного розподілу вихідної потужності на коефіцієнт посилення Кр кожного ступеня.

За умовами експлуатації зазвичай допускається зниження вихідної потужності в два рази. Якщо передбачається робота з пониженням потужності до 50%, то:

Так як отримане значення не є цілим, то округлимо його в більшу сторону. Отже, необхідно, щоб розроблюваний приймач містив чотири модулі.

Перевіримо отриманий вираз:

Отже, розрахунок виконаний вірно і зниження кількості модулів до трьох буде недоцільним, так як

Отже, потужність кожного модуля буде дорівнюти (при врахуванні того, що всі модулі мають однакову потужність):

Для збільшення ККД модуля використовуємо стокову модуляцію в ключовому режимі. Стічна модуляція здійснюється в крайовому каскаді приймача, відрізняється високою ефективністю, досить лінійною модуляційною характеристикою при високому і незмінному ККД. Недоліком стокової модуляції є необхідність в порівняно потужному модуляторі.

В кінцевих каскадах, при роботі в ключовому режимі застосовують тільки двотактні схеми, в яких завдяки симетрії роботи плечей підтримується близька до меандр форма напруги на стоках і досягається послаблення другої гармоніки на мінус (20 ... 40) дБ.

Визначимо потужність одного транзистора двотактного підсилювача (n):

На частотах до 1300МГц необхідну потужність на навантаження при напрузі $E_{st} = 32 \text{ В}$ може віддати n-канальний транзистор з ізольованим затвором, виконаний по D-MOS [технології BLF642](#) фірми Philips.

Ця напруга вимагається, однак, тільки в максимумі модуляції. Напруга в ланцюзі стоку повинна бути не більше:

Для досягнення оптимального ключового режиму, при заданій тривалості [тнас](#), мас виконуватися одне з обмежень на максимальну частоту $f_{max} < (0,2 \dots 1,5) / 2\pi f_{C22iRek}$ [12].

Знайдемо f_{max} відповідно до параметрів обраного транзистора:

Отже, обмеження на максимальну частоту виконується, тому остаточно задаємося даними транзистором.

В якості каскаду використовуємо двоканальний тракт на інтегральних підсилювачах МАРМ-020512-010C00, що забезпечує високий ККД, низький рівень гармонік і шуму, стійкість до самозбудження, стабільність і повторюваність параметрів виробів.

Рисунок 3.1 - Зовнішній вигляд МАРМ-020512-010C00

Рисунок 3.2 – схема МАРМ-020512-010C00

Зробимо розрахунок потужності, яку повинен віддати підсилювач в максимальному режимі (кофіцієнт посилення Кр приймемо рівним 25):

Необхідне посилення модуля за отриманим значенням потужності приймемо рівним 15дБм, що менше максимального. Тому вибір даної схеми задовільний.

Як модулятор використовуємо мікросхему УМЗЧ класу D.

Збільшення ККД підсилювачів потужності звукової частоти (УМЗЧ) - одне з важливих завдань розробника мобільних і ряду інших аналогових і цифрових пристрійв.

Найчастіше найкращим вирішенням цього завдання виявляється застосування УМЗЧ класу D. В останні роки з'явилося безліч спеціалізованих мікросхем УМЗЧ класу D з високим ККД (майже 100%) і невеликим кофіцієнтом нелінійних спотворень (помітно менше 10%).

Сучасні інтегральні УМЗЧ класу D поєднують, здавалося б, несумісне: високий ККД і низький кофіцієнт нелінійних спотворень [13].

Останнім часом в схемотехніці підсилювачів потужності (УМЗЧ) отримали розвиток два взаємовиключних напрямків:

- поліпшення суб'ективної якості відтворення звуку, як правило, за рахунок зменшення економічності (ККД) підсилювача;
- підвищення економічності підсилювача і зменшення його розмірів при збереженні високих якісних показників.

Перший напрямок - характерне використання в вихідних каскадах УМЗЧ потужних польових транзисторів і радіоламп (Hi-End), що працюють дуже часто в режимах класу А.

Другий напрямок характерний для переносної і автомобільної звуковідтворювальної апаратури. Саме в реалізації цього напрямку широко використовуються підсилювачі класу D.

З існуючих інтегральних підсилювачів найбільш підходящими є [схемиMPS MP7722](#) і [MPS MP7731](#) (рисунок 3.3, рисунок 3.4).

Рисунок 3.3 - Принципова схема УМЗЧ класу D на мікросхемі MP7722

Рисунок 3.4 - Принципова схема УМЗЧ класу D на мікросхемі MP7731

Мікросхема MP7722 випускається в корпусах SOIC8 (для поверхневого монтажу) і PDIP8, які мають по 8 виводів і терморегулятори. На даній мікросхемі УМЗЧ має номінальну потужність 20 Вт при опорі навантаження відповідно 4 Ом та при напрузі живлення 24 В. Діапазон відтворюваних частот -20 Гц 20 кГц. Цей підсилювач має ККД 90% при нелінійних спотвореннях не більше ніж

0.1% для всього діапазону частот і вихідної потужності 1 Вт (0,06 ... 0,07% для частоти 1 кГц).

Напруга живлення 7,5 ... 24 В. Також в мікросхему вбудовані два вихідних ключа на МДП-транзисторах, які ввімкнені в схемі послідовно з живленням (напівміст). Мікросхема MP7731 випускається в корпусі TSSOP20F для поверхневого монтажу, який має 20 виводів і металеву контактну площинку зверху для теплового контакту з радіатором. Номінальна потужність УМЗЧ на мікросхемі MP7731 становить 30 Вт при опорі навантаження відповідно 4 Ом та при напрузі живлення 16 В.

Діапазон відтворюваних частот 20 Гц .. "20 кГц. ККД 90% при вихідній потужності 5 Вт. Нелінійні спотворення не більше 0,1% для всього діапазону частот при вихідній потужності 1 Вт.

Напруга живлення 7,5 -.24 В. В мікросхему 'вбудовані чотири вихідних ключа на МДП-транзисторах, які включені мостом. Особливістю мостових УМЗЧ є те, що вони мають два, як правило, рівноцінних підсилюючих канали з вихідними ключами. Тобто мікросхема MP7731 містить два канали.

Як джерело живлення ЕСТ використовуємо перетворювач DC-DC для монтажу на друковану плату JTM2024S12, який за довідковими даними задовольняє всім вимогам (рисунок 3.5):

Вихідна потужність 40 Вт

Діапазони вхідної напруги 18 ... 36 В

Вбудований П-подібний фільтр на вході

Вихідна напруга живлення з номінальним значенням 12В

Коефіцієнт корисної дії від 92%

Частота перетворення 350 кГц

Гальванічна розв'язка вихідних ланцюгів харчування від шин джерела вхідних електроенергій - 1500 В

Діапазон робочих температур від -40 до + 100 ° С

Рисунок 3.5 - Зовнішній вигляд JTM2024S12

Визначимося з типом резонансного ключового генератора. Для підвищення ефективності генератора необхідно, щоб при проходженні струму через активний елемент напруга на його електродах була близькою до 0.

При гармонійній формі напруги це можливо лише при досить "вузькому" імпульсі струму, а значить при відносно малій потужності генератора. Щоб отримати від генератора номінальну потужність (тобто при "широкому" імпульсі струму) необхідно відповідним чином змінити форму вихідної напруги. Ця ідея була реалізована в ключових режимах, які отримали умовну назву клас "D" і "E". Для режиму класу "D" характерна "прямокутна" форма або вихідної напруги, або струму, або напруги і струму одночасно. При цьому, як правило, використовується кут відсічення 90° і двухтактна схема генератора [12].

Варіанти поєднання вихідних напруг і струмів в генераторах класу "D" представлені на рисунку нижче.

Рисунок 3.6 - Хвильові діаграми струмів і напруг в режимах класу "D"

Генератор, відповідний варіанту рис. 3.6. а, іноді називають перемикачем напруги (ПН); варіанту 3.6.б - перемикачем струму (ПС); варіанту 3.6.в- перемикачем струму і напруги (ПСН).

На практиці застосування знайшли варіанти "а" і "в". Зокрема, режим аналогічний ПН реалізується в схемі послідовного резонансного інвертора (ключовий генератор з послідовним фільтруючим контуром).

Ми будемо застосовувати тип генератора з перемиканням напруги, який, у порівнянні з перемикачем струму забезпечує високу надійність роботи транзисторів (рисунок 3.7).

Рисунок 3.7 - Принципова схема вихідного модуля приймача

На рисунку 3.7 приведена схема генератора з перемиканням напруги з найпростішою коливальною системою у вигляді послідовного LC - контуру, на транзисторах одного типу провідності при послідовному живленні від джерела напруги $E_p = 2E_c$.

В даній схемі, за рахунок почергового відмикання транзисторів, напруга на їх стоках набуває форму близьку до прямокутної.

Цими коливаннями в контурі LCR, при досить високій його добротності збуджується гармонійний струм. Напівхвилі струму по черзі протікають через транзистори, а залишкова напруга на відкритих транзисторах (з амплітудою e_{ost}) повторює форму імпульсів струму (рисунок 3.8).

Перевагою такої схеми є також можливість порушення напругою гармонійної форми.

Рисунок 3.8 - Ідеалізовані тимчасові діаграми послідовного резонансного інвертора.

3.2 Розрахунок максимального режиму генератора

Розрахунок вихідний ступені приймача будемо виконувати відповідно до методики, запропонованої в [5].

Для початку визначимо потужність комутативних втрат в транзисторі за формулою $P_{kom} = \frac{1}{2} f_a E_{c,max}^2 C_{ss}$

де $E_{c,max}$ - напруга живлення;

C_{ss} - значення вихідної ємності

Значення вихідної ємності в свою чергу визначимо за формулою:

Отже, потужність комутативних втрат:

Для двотактних ключових генераторів з послідовним резонансним контуром, допоміжні коефіцієнти α , v , χ , залежать від тривалості етапу насичення.

Для одночасного досягнення максимальних значень потужності P_1 , ККД і Кр слід вибирати $t_{nac} = \pi$. Відповідні розрахункові коефіцієнти наведені в таблиці 3.1.

Таблиця 3.1 - Розрахункові коефіцієнти

Обмеження на номінальну потужність визначимо за формулою:

У цій формулі приймемо коефіцієнт $\eta = 0,9$, $R_{nac} = 0,3$.

Умова виконується, розрахунок виконаний вірно.

Розрахуємо електронний ККД з урахуванням втрат на опорі R_{nas} :

Потужність, споживана від джерела живлення в номінальному режимі з втратами на опорі R_{nas} :

Потужність втрат на опорі R_{nas} транзистора визначимо за формулою:

Потужність транзистора, споживана від джерела живлення з урахуванням втрат на опорі r_{nas} і комутативних втрат:

Отже, електронний ККД при обліку всіх втрат:

Постійна складова струму стоку в максимальному режимі:

Значення струму стоку відповідно до запропонованої методики не повинно перевищувати гранично допустимого в максимальному режимі:

Як бачимо, умова виконується, розрахунок виконаний вірно.

Перша гармоніка струму стоку:

Напруга на стоці транзистора:

Еквівалентний опір навантаження в ланцюзі стоку транзистора в номінальному режимі визначимо за формулою:

Потужність в режимі несучої частоти:

Потужність розсіювання є різниця:

Визначимо струми:

Середня потужність в режимі модуляції:

Середня потужність розсіювання як модуляції:

Амплітуда напруги на затворі (каналі):

Напруга зсуву на затворі:

Максимальна напруга на затворі:

Умова виконується, розрахунок напруги на затворі виконаний вірно

Амплітуда струму затвора:

Підставляємо числові значення і знаходимо амплітуду струму затвора:

Визначимо параметри $L_{bx.oi}$, $r_{bx.oi}$ і $C_{bx.oi}$

Резистивну і реактивну складові вхідного опору визначимо за формулами:

Підставляємо числові значення:

Вхідна потужність:

Потужність, що розсіюється на транзисторі:

Коефіцієнт посилення по потужності:

На частотах $f < f_s$ і $f > f_s$, вхідний опір транзистора можна вважати ємнісним і напруга на затворі дорівнює

3.3 Розрахунок коливальної системи приймача

Розрахунок коливальної системи приймача будемо виконувати відповідно до методики, запропонованої в [13].

Знайдемо хвильовий опір контуру за умови, що $Q_{pl.n.} = 1,5..5$ (приймемо $Q_{pl.n.} = 2,5$):

Середнє геометричне значення частоти визначимо за вихідними даними відповідно до формули:

Знайдемо значення елементів контуру:

Рівень будь-якого побічного (внеполосного) радіовипромінювання приймачів з вхідною потужністю понад 25 Вт має бути не менше ніж на 60 дБ нижче від максимального значення вхідної потужності радіосигналу. Щоб досягти цієї вимоги на виходах підсилювачів потужності встановлюють фільтруючі пристрой, в якості яких зазвичай використовуються фільтри Чебишева.

Коефіцієнт перекриття в діапазоні становить:

У приймачах з $K_f = 1,1 \dots 1,2$ вихідну систему фільтрів можна виконати в вигляді фільтра низьких частот, що складається з Г-, П- і Т-ланцюжків, які добре забезпечують фільтрацію вищих гармонік.

У двотактних ключових генераторах з навантаженням найбільшою є 3-тя гармоніка, однак, через деяку асиметрію роботи транзисторів присутня 2-а гармоніка. Відносний рівень 2-ї і 3-ї гармонік напруги можна оцінювати як:

Мінімально допустиме загасання аф, яке має забезпечувати фільтр в смузі затримання для 3-ї гармоніки:

При заданому загасання мінімальні втрати досягаються при оптимальному числі мопtL - і С-елементів:

Отримане значення округлимо в меншу сторону і приймемо рівним

Визначимо значення R_{ek} коливальної системи,

Вибір першого елемента паралельного конденсатора C_1 або послідовної індуктивності L_1 визначається схемою генератора.

Елементи схеми виберемо так, як показано на рисунку нижче.

Рисунок 3.9 - ФНЧ п'ятого порядку

Відповідно до [13] зробимо розрахунок LC-елементів

Рисунок 3.10 - Схема ВФС для розрахунку LC-елементів

У даній методиці кожен Т-ланцюжок представляється послідовним з'єднанням двох Г-ланцюжків, що трансформують навантажувальний опір послідовно R_h в R_0 , а потім R_0 в R^* н і т.д:

Замість однієї з паралельних ємностей встановимо послідовний LC-контур, налаштований на 3-у гармоніку (рисунок 3.11).

Рисунок 3.11 - Схема ВФС з додатковим LC-ланцюжком

Зробимо розрахунок додаткового контуру:

Знайдемо ККД для кожного з двох Т-ланцюжків.

При цьому приймемо добротність катушок QL рівній 25:

Розрахуємо потужність, яку споживає каскад в максимальному режимі (передачі) від мережі $U_{BC} = 27V$.

де η_{tm} - ККД транзисторного модуля.

При використанні малопотужних стабілітронів струм навантаження не повинен перевищувати $(20 \div 30)$ мА. Виберемо стабіліtron 2C162A, що має параметри:

$U_{CT, \text{HOM.}} = 6,2V$; $I_{CT, \text{HOM.}} = 10 \text{ mA}$; $P_{\text{макс}} = 150 \text{ mWt}$ (рисунок 3.12).

Рисунок 3.12 - Схема управління напругою зміщення

Знайдемо значення резистора R_{ct} :

Розглянемо обрану мікросхему MP7731. Вона випускається в корпусі TSSOP20F для поверхневого монтажу, який має 20 виводів і металеву контактну площинку зверху для теплового контакту з радіатором.

Номінальна потужність УМЗЧ на мікросхемі MP7731 становить 30 Вт при опорі навантаження 4 Ом і напрузі живлення 16 В. Діапазон відтворюваних частот 20 Гц .. "20 кГц. ККД 90% при вихідній потужності 5 Вт. Нелінійні спотворення не більше 0,1% для всього діапазону частот при вихідній потужності 1 Вт.

Напруга живлення від 7,5 до 24 В. На дану мікросхему вбудовано чотири вихідніх ключа на МДП-транзисторах, які включені мостом. Особливістю мостових УМЗЧ є те, що вони мають два, як правило, рівноцінних підсилюючих каналу з вихідними ключами, які включені півмілі.

Тобто мікросхема MP7731 містить два канали, близькі за структурою до мікросхеми MP7720. Ці канали працюють в протифазі, а навантаження підключено без розділових конденсаторів між виходами цих каналів, тому що постійна напруга на кожному з виводів виходу дорівнює половині напруги живлення. Для протифазного управління зазвичай використовується включення каналів методом «ведучий - ведений» (Master - Slave), тобто обидва підсилювача включені по вхідному сигналу послідовно.

Для такого включення обидва канали повинні інвертуватися підсилювачами. Сигнал на другий канал надходить з виходу першого через дільник R1, R2 або резистор (рисунок 3.13).

Рисунок 3.13 - Принципова схема УМЗЧ класу D на мікросхемі MP7731

Принципова схема УМЗЧ класу D на мікросхемі MP7731 зображена на рисунку 3.13., а призначення виводів цієї мікросхеми наведено в таблиці 3.2.

Таблиця 3.2 - Призначення виводів мікросхеми MP7731

Напруга зсуву на неівертирючих входах обох каналів (виводи 2 і 8), що дорівнює половині напруги живлення, формується дільником R2, R5.

Конденсатор 09 шунтує ці виводи по змінній напрузі, а конденсатори C54 і C41 задають частоти ШІМ-перетворення 1-го і 2-го каналів відповідно. Ці конденсатори повинні бути розташовані якомога ближче до виводів, біля яких вони намальовані на схемі.

C53 - конденсатор фільтра живлення, а C55 і C42 - конденсатори, які також треба розташовувати якомога ближче до висновків, біля яких вони намальовані.

Вхідний сигнал надходить на вхід каналу 1 (вивід 3) через розділовий конденсатор C35 і обмежує резистор R16.

Коефіцієнт посилення по напрузі каналу 1 мікросхеми визначається співвідношенням опорів резисторів ланцюга R14hR16, а каналу 2 - співвідношенням R44 і R34. Схема по ВЧ в каналі 1 здійснюється через конденсатор C29. а в каналі 2 - через C34.

Конденсатор C37 - це конденсатор вольтодобавки каналу 1, а C22 - конденсатор вольтодобавки каналу 2.

Вони підвищують ККД підсилювача.

Паралельно цим конденсаторам підключено стабілітрони D13 і D15 з напругою стабілізації 6,2 В.

Посилений вихідний сигнал звуку виділяється в ФНЧ на виходах каналів 1 (L4, C47) і 2 (L3, C43) і надходить на гучномовець. ФНЧ пригнічують високочастотні

імпульсні складові - сигналу на виходах мікросхеми і не пропускають їх в навантаження.

Діоди Шотткі D6, D8 гасять індукційні струми і викиди ЕРС, що виникають в котушках L4 і L3 в моменти перемикання вихідних ключів, коли всі вони закриваються. Ці котушки повинні бути розраховані на номінальний струм 2,6 А.

Кожен з каналів має свій вхід дозволу EN1 (вивід 6) і EN2 (вивід 10). При низькому рівні напруги на цих висновках мікросхема буде перебувати в черговому режимі, а при високому - в робочому.

Рисунок 3.14 - Другий варіант схеми включення MP7731

3.4 Розрахунок ланцюгів узгодження

Для оптимальної роботи приймача вихідний опір попереднього каскаду повинно бути погоджено з вхідним опором наступного каскаду.

В якості збудника передбачається використовувати блок збудження радіостанції Орлан, його вихідний опір $R_{возб} = 50$ Ом. Для узгодження блоку порушення радіостанції з мостом поділу потужності застосуємо трансформатор T1 (рисунок 3.15).

Рисунок 3.15 - Трансформатор узгодження

Коефіцієнт трансформації N визначаємо при $R_{вх} = 50$ і $R_{вих} = 100$:

Узгодимо другий міст ділення з каскадом крайового підсилювача. Оскільки коефіцієнт перекриття в діапазоні $Kf < 1,2$, то вхідний ланцюг каскаду можна виконати як ланцюг узгодження на середній частоті. Для цього використовуємо Г-ланцюжок (рисунок 3.16).

Рисунок 3.16 - Ланцюг узгодження

Вихідний опір другого моста ділення одно:

Вхідний опір каскаду складається з вихідного опору транзистора $R_{вх}$ і додаткового опору $R_{доп}$. Тоді вхідний опір вузла одно:

Знайдемо значення ємності та індуктивності:

Знайдемо ККД для Г-ланцюжка, прийнявши добробутність котушки $QL = 30$:

Використовуємо мостові схеми на трансформаторах з магнітним зв'язком між обмотками і коефіцієнтом трансформації 1: 1 (рисунок 3.17).

Розрахуємо опір навантаження для моста першого моста ділення :

Розрахуємо опір навантаження для моста другого моста ділення:

Розрахуємо опір навантаження для моста складання. Вхідні опору R і баластні опори R_6 , рівні еквівалентному опору в ланцюзі стоку транзистора $R_{ек1} = 11,3$ Ом.

Рисунок 3.17 - трансформаторні мости складання а)

і ділення б) потужностей

У номінальному режимі на R_6 потужність не розсіюється. При відхиленнях від нього на R_6 починає розсіюватися частина потужності генераторів, причому найгірший режим, коли не працюють три генератори з чотирьох і на R_6 виділяється найбільша потужність.

3.5 Розрахунок надійності приймача

Розрахунок надійності приймача будемо виконувати за схемою нижче.

Надійність визначається надійністю його елементів і їх числом m :

де **$\lambda_{ел}$** - інтенсивність відмови елемента і з урахуванням умов його роботи в приймачі;

Те - час напрацювання на відмову.

де **λ_o** - інтенсивність відмов елементів вихідного каскаду;

$\lambda_{предв}$ - інтенсивність відмов елементів передвихідного каскаду;

$\lambda_{ц.с.}$ - інтенсивність відмов елементів ланцюгів узгодження;

$\lambda_{М.д.}$ - інтенсивність відмов елементів мостів ділення;

$\lambda_{М.с.}$ - інтенсивність відмов елементів мостів складання;

λ_M - інтенсивність відмов елементів модулятора;

λ_K - інтенсивність відмов елементів конвертора напруги;

$\lambda_{ВФС}$ - інтенсивність відмов елементів ВФС.

Розрахунок інтенсивності відмов передвихідного каскаду.

У передвихідному каскаді міститься:

мікросхем - 1 **$\lambda_{мікр}$** = $0,1 \cdot 10^{-6}$ 1 / год;

резисторів - 2 **λ_p** = $0,01 \cdot 10^{-6}$ 1 / год;

дроселів - 1 **$\lambda_{др}$** = $0,2 \cdot 10^{-6}$ 1 / год;

конденсаторів - 1 **$\lambda_{конд}$** = $0,01 \cdot 10^{-6}$ 1 / год;

діодів - 1 **λ_d** = $0,05 \cdot 10^{-6}$ 1 / год.

$$\lambda_{предв} = \lambda_{мікр} + 2 \cdot \lambda_p + \lambda_{др} + \lambda_d =$$

$$= 0,1 \cdot 10^{-6} + 2 \cdot 0,01 \cdot 10^{-6} + 0,01 \cdot 10^{-6} + 0,2 \cdot 10^{-6} + 0,05 \cdot 10^{-6} = 0,38 \cdot 10^{-6} 1 / \text{ч.}$$

Розрахунок інтенсивності відмов ланцюга узгодження.

У ланцюзі узгодження міститься:

трансформаторів - 1 **$\lambda_{тр}$** = $0,05 \cdot 10^{-6}$ 1 / год.

$\lambda_{ц.с.}$ = **$\Delta_{тр}$** = $0,05 \cdot 10^{-6}$ 1 / год.

Розрахунок інтенсивності відмов моста ділення.

У мосту поділу міститься:

трансформаторів - 2 **$\lambda_{тр}$** = $0,05 \cdot 10^{-6}$ 1 / год;

резисторів - 1 **λ_p** = $0,01 \cdot 10^{-6}$ 1 / год.

$$\lambda_{М.д.} = 2 \cdot \lambda_{тр} + \lambda_p = 2 \cdot 0,05 \cdot 10^{-6} + 0,01 \cdot 10^{-6} = 0,11 \cdot 10^{-6} 1 / \text{год.}$$

Розрахунок інтенсивності відмов моста складання.

У мосту складання міститься:

трансформаторів - 5 **$\lambda_{тр}$** = $0,05 \cdot 10^{-6}$ 1 / год;

резисторів - 4 **λ_p** = $0,01 \cdot 10^{-6}$ 1 / год.

$$\lambda_{М.с.} = 5 \cdot \lambda_{тр} + 4 \cdot \lambda_p = 5 \cdot 0,05 \cdot 10^{-6} + 4 \cdot 0,01 \cdot 10^{-6} = 0,29 \cdot 10^{-6} 1 / \text{год.}$$

Розрахунок інтенсивності відмов модулятора.

У модуляторі міститься:

резисторів - 6 **λ_p** = $0,01 \cdot 10^{-6}$ 1 / год;

мікросхем - 1 **$\lambda_{мікр}$** = $0,1 \cdot 10^{-6}$ 1 / год;

діодів - 4 **λ_d** = $0,05 \cdot 10^{-6}$ 1 / год;

конденсаторів - 16 **$\lambda_{конд}$** = $0,01 \cdot 10^{-6}$ 1 / год;

котушок - 2 **$\lambda_{кат}$** = $0,1 \cdot 10^{-6}$ 1 / год.

$$\lambda_{М.} = 6 \cdot \lambda_p + \lambda_{мікр} + 4 \cdot \lambda_d + 16 \cdot \lambda_{конд} + 2 \cdot \lambda_{кат} =$$

$$= 6 \cdot 0,01 \cdot 10^{-6} + 0,1 \cdot 10^{-6} + 4 \cdot 0,05 \cdot 10^{-6} + 16 \cdot 0,01 \cdot 10^{-6} + 2 \cdot 0,1 \cdot 10^{-6} = 0,72 \cdot 10^{-6} \text{ 1 / год.}$$

Розрахунок інтенсивності відмов конвертора напруги.

У конверторі напруги міститься:

мікросхем - 1 $\lambda_{мікр}$ = $0,1 \cdot 10^{-6}$ 1 / год;

дроселів - 1 $\lambda_{др}$ = $0,2 \cdot 10^{-6}$ 1 / год;

резисторів - 2 λ_p = $0,01 \cdot 10^{-6}$ 1 / год.

$$\lambda_{ІК} = \lambda_{мікр} + 2 \cdot \lambda_p = 0,1 \cdot 10^{-6} + 0,2 \cdot 10^{-6} + 2 \cdot 0,01 \cdot 10^{-6} = 0,32 \cdot 10^{-6} \text{ 1 / год.}$$

Розрахунок інтенсивності відмов ВФС.

У ВФС міститься:

конденсаторів - 2 $\lambda_{конд}$ = $0,01 \cdot 10^{-6}$ 1 / год;

котушок - 4 $\lambda_{кат}$ = $0,1 \cdot 10^{-6}$ 1 / год.

$$\lambda_{ВФС} = 2 \cdot \lambda_{конд} + 4 \cdot \lambda_{кат} = 2 \cdot 0,01 \cdot 10^{-6} + 4 \cdot 0,1 \cdot 10^{-6} = 0,42 \cdot 10^{-6} \text{ 1 / год.}$$

Розрахунок інтенсивності відмов кінцевого модуля.

У крайовому модулі міститься:

транзисторів - 2 $\lambda_{тр}$ = $0,35 \cdot 10^{-6}$ 1 / год;

резисторів - 2 λ_p = $0,01 \cdot 10^{-6}$ 1 / год;

дроселів - 1 $\lambda_{др}$ = $0,2 \cdot 10^{-6}$ 1 / год;

конденсаторів - 4 $\lambda_{конд}$ = $0,01 \cdot 10^{-6}$ 1 / год;

котушок - 3 $\lambda_{кат}$ = $0,1 \cdot 10^{-6}$ 1 / год.

$$\lambda_{ІО} = 2 \cdot \lambda_{тр} + 2 \cdot \lambda_p + \lambda_{др} + 4 \cdot \lambda_{конд} + 3 \cdot \lambda_{кат} =$$

$$= 2 \cdot 0,35 \cdot 10^{-6} + 2 \cdot 0,01 \cdot 10^{-6} + 0,2 \cdot 10^{-6} + 4 \cdot 0,01 \cdot 10^{-6} + 3 \cdot 0,1 \cdot 10^{-6} = 1,26 \cdot 10^{-6} \text{ 1 / год.}$$

Розрахунок надійності вихідного каскаду (4 модуля).

Імовірність безвідмовної роботи модуля:

Імовірністю відмови роботи вихідного каскаду будемо вважати відмову обох і більше модулів. Імовірність безвідмовної роботи вихідного каскаду дорівнює:

Імовірність безвідмовної роботи за час, що дорівнює його середньому часу безвідмовної роботи дорівнює:

Вирішуючи дане рівняння з урахуванням того, що r_g не може бути більше одиниці, отримуємо:

Знайдемо інтенсивності відмов вихідного каскаду:

За аналогією розрахуємо інтенсивності відмов модуляторів:

Розрахуємо інтенсивності відмов передвихідних каскадів:

Розрахуємо інтенсивності відмов конверторів:

Розрахуємо напрацювання приймача на відмову з урахуванням коефіцієнта експлуатації $k_e = 60 \dots 80$.

РОЗДІЛ 4

Техніко-економічне обґрунтування та питання організації виробництва

До витрат на виробництво пристрою можна віднести основну та додаткову заробітну плату персоналу, витрати задля утримання і експлуатацію робочого устаткування, загальнновиробничі витрати.

Нижче наведено розрахунок витрат часу на розробку проекту. Результат розрахунку занесено в таблицю 4.1.

Таблиця 4.1 - Витрати часу на розробку проекту

У таблиці 4.2 наведено величину оплати праці.

Таблиця 4.2. Величина оплати праці

Заробітня платня інженера становить близько 9000 грн згідно із ставкою в 90 грн/год і місячною нормою робочого процесу в 100 годин.

В рамках даного проекту інші витрати ніяк не враховано.

До складу витрат: затрати, які пов'язані з амортизацією обладнання та витрати на електроенергію. Амортизаційні відрахування обчислюються для визначення сум задля повного відновлення виробничих фондів, виходячи з балансової вартості і встановлених норм амортизації. Потрібно враховувати амортизацію того обладнання, яке було використано в цій роботі.

Витрати на обладнання занесемо до таблиці табл.4.3.

Таблиця 4.3 - Вартість обладнання

Амортизація за період роботи (15 робочих днів):

Затрати на електроенергію в загальному вигляді визначаються за формулою:

де M_p – потужність;

Φ_q – фонд часу праці обладнання;

φ_{en} – ціна енергії;

K_p – коефіцієнт використання потужності (0,9).

Підставивши числові значення отримаємо наступне:

Тоді, загальна вартість за амортизацію і електроенергію:

Загальновиробничі витрати включають заробітну плату, витрати на утримання допоміжного персоналу, витрати на утримання виробничих будівель і споруд. Витрати складають від 50% до 65% витрат на оплату праці основних працівників підприємства. У даній роботі ці витрати становлять 50%, тоді сума витрат буде складати:

До інших витрат зараховуються податки, збори, відрахування в спеціальні позабюджетні фонди, обов'язкове страхування майна підприємства, платежі за короткостроковими кредитами і т. д.

Тому в даній роботі витрати на інше дорівнюють нулю.

Результати всіх розрахунків запишемо в таблицю 4.4.

Таблиця 4.4 - Загальна калькуляція

Таким чином, загальна собівартість проекту становитиме 17917,17 грн.

ВИСНОВОК

З моменту появи та розвиту інтегральної та функціональної мікроелектроніки розробка принципів побудови та конструкції радіотехнічних пристройів стало справою для фахівця з електроніки, адже тепер в одній мікросхемі, в лише одному технологічному процесі знаходяться резистори, транзистори та конденсатори, всі основні, допоміжні й узгоджувальні елементи, що визначають

режими роботи і технічні параметри блоків та самостійних у функціональному відношенні приладів починаючи з радіоприймачів та закінчуючи мікропроцесорами. Відбулась інтеграція не лише окремих радіоелектронних компонентів, а й інтеграція деяких колись незалежних наук, технологій, професій. На додаток до опанування надвисоких частот і від сuto радіотехнічної ознаки — випромінювання радіохвиль для передачі інформації — здебільшого також відмовились, створивши кабельні мережі та світловодні системи зв'язку. Радіоелектроніка, умовно кажучи, посідає деяке проміжне місце між фундаментальними (радіофізику, фізику твердого тіла, оптикою) та технічними (електротехнікою, автоматикою, технічною кібернетикою) науками. Умовність такого розподілу наук пов'язана з тим, що в багатьох **своїх** компонентах вони перетинаються, відбулося взаємне проникнення методів дослідження, способів побудови, апаратурної реалізації багатьох основних інструментів цих наук.

Так, у радіоелектронних приладах широко використовуються різні системи автоматичного керування (автоматичне регулювання підсилювання, підстроювання частоти генератора тощо), зміни режиму іхньої роботи залежно від зміни параметрів сигналу (наприклад, автоматична зміна режиму роботи і навіть випромінюваної частоти радіолокатора при дії штучних завад), цифрові способи селекції та оброблення сигналів.

Однак, з іншого боку радіоелектронні пристрой є компонентами багатьох верстатів, приладів, вимірювальних систем і систем контролю, систем керування, технологічних ліній тощо.

З процесом росту радіоелектроніки від неї відокремилися такі новітні напрямки в науці та техніці, як квантова електроніка, оптоелектроніка, мікроелектроніка, кріогенна електроніка, магнітоелектроніка, хемотроніка.

В результаті написання роботи було розглянуто побудову приймача цифрової електронної системи зв'язку.